

# AGROFOTOVOLTAICO TRE TORRI AGRICOLTURA 4.0

IMPIANTO DI PRODUZIONE DI ENERGIA ELETTRICA DA FONTE FOTOVOLTAICA,  
CON PANNELLI COLLOCATI IN ALTEZZA, DI POTENZA IN GENERAZIONE  
PARI A 26,8643 MW E POTENZA IMMESSA IN RETE PARI A 25,82 MW,  
**DENOMINATO "AFV TRETORRI AGRICOLTURA 4.0"**

REGIONE PUGLIA  
PROVINCIA di BRINDISI  
COMUNI di SAN PANCRAZIO SALENTINO ed ERCHIE  
opere connesse nel COMUNE DI ERCHIE (Br) contrada "Tre Torri"  
Località ubicazione impianto AFV: Masseria Tre Torri - Erchie (Br)

PROGETTO DEFINITIVO  
Id AU 3A3A5H1



Tav.: <b>R05</b>	Titolo: <b>RELAZIONE DI VERIFICA ESPOSIZIONE CAMPI ELETTROMAGNETICI</b>	
Scala:	Formato Stampa:	Codice Identificatore Elaborato
n.d.	A4	3A3A5H1_DocumentazioneSpecialistica_05

Progettazione:	Committente:
<b>ENERWIND s.r.l.</b> Via San Lorenzo 155 - cap 72023 MESAGNE (BR) P.IVA 02549880744 - REA BR-154453 - enerwind@pec.it	<b>TRE TORRI ENERGIA s.r.l.</b> Piazza del Grano n.3 - 39100 BOLZANO (BZ) p. iva 0305799214 - REA BZ 283988 tretorrienergia@legalmail.it
<b>MSC innovative solutions s.r.l.s.</b> Via Milizia n.55 - 73100 LECCE (ITALY) P.IVA 05030190754 - msc.innovativesolutions@pec.it	<b>SOCIETA' DEL GRUPPO FRI-EL GREEN POWER S.p.A.</b> Piazza della Rotonda, 2 - 00186 Roma (RM) - Italia Tel. +39 06 6880 4163 - Fax. +39 06 6821 2764 Email: Info@fri-el.it - P. IVA 01533770218
Ing. Santo Masilla Responsabile progetto Ing. Fabio Calcarella	

Data	Motivo della revisione:	Redatto:	Controllato:	Approvato:
Luglio 2022	Prima emissione	M.S.C. S.r.l.s.	Santo Masilla	Tre Torri Energia S.r.l.

## **Sommario**

1	Oggetto.....	2
2	Compatibilità Elettromagnetica.....	3
2.1	Riferimenti normativi.....	3
2.2	Valutazione dell'esposizione umana. Valori limite.....	3
2.3	Campo magnetico .....	4
2.4	Campo elettrico .....	6
3	Fonti di emissione.....	6
3.1	Campo elettromagnetico generato dagli elettrodotti.....	7
3.1.1	Calcolo del campo di induzione elettromagnetica generato dagli elettrodotti ....	8
3.2	Gruppo di trasformazione.....	15
3.3	Sottostazione Elettrica Utente 30/150 kV.....	16
3.3.1	Determinazione della fascia di rispetto .....	18
3.4	Conclusioni e Distanze di prima approssimazione (DPA) .....	22
3.4.1	Impianto Fotovoltaico .....	23
3.4.2	Cabina di Smistamento .....	23
3.4.3	Cavidotti MT interni .....	23
3.4.4	Sottostazione Utente (SSE) .....	23

## 1 Oggetto

Scopo del progetto è la realizzazione di un "Impianto Fotovoltaico" per la produzione di energia elettrica da fonte rinnovabile (sole) e l'immissione, attraverso un'opportuna connessione, dell'energia prodotta nella Rete di Trasmissione Nazionale di TERNA S.p.A.

L'impianto avrà potenza installata pari a 26.864,32 kW. Interesserà due aree agricole, una ricadente nel Comune di Erchie (BR) e una ricadente nel comune di San Pancrazio Salentino (BR). Tutte le opere di connessione ad esso annesse (linea interrata MT e SSE Utente 30/150 kV) interesseranno i Comuni di Erchie (BR) e San Pancrazio Salentino (BR).

L'impianto sarà costituito da 40.096 moduli fotovoltaici da 670 W ognuno, raggruppati in 1.432 stringhe e montati su strutture metalliche ad inseguitori solari monoassiali, "Tracker".

L'energia prodotta dall'impianto nell'area 2 Est sarà convogliata, dopo la trasformazione da BT in MT, mediante linee interrate in MT a 30 kV, ad una Cabina di Smistamento, interna al parco fotovoltaico, e da qui, mediante linea interrata in MT a 30 kV, sarà trasportata nella Sottostazione Elettrica Utente 30/150 kV. L'energia, invece, prodotta dall'impianto nell'area 1 Ovest sarà convogliata, dopo la trasformazione da BT in MT, mediante linea interrata in MT a 30 kV direttamente nella Sottostazione Elettrica Utente 30/150 kV. Nella SSE avverrà la trasformazione di tensione (30/150 kV) e la successiva consegna (in AT a 150 kV) alla SE TERNA 150/380 kV "Erchie", tramite cavo interrato AT, che si attesterà da una parte allo stallo n.3 dedicato AT 150 kV della SE TERNA di Erchie, dall'altro su un sistema di condivisione, con altri produttori, di sbarre AT a 150 kV.

Il progetto dell'impianto fotovoltaico interessa due aree (Area 1 Ovest e Area 2 Est) ubicate a circa 3,1 km a Sud-Est dall'abitato di Erchie (BR), a circa 3,5 km a Sud-Ovest dall'abitato di San Pancrazio Salentino (BR) e a circa 5,0 km a Nord dall'abitato di Avetrana (TA). Il Cavidotto MT a 30 kV interesserà i Comuni di Erchie (BR) e San Pancrazio Salentino (BR) ed avrà una lunghezza complessiva di circa 2.730 m. La SSE Utente sarà ubicata in un sito adiacente all'Area 1 Ovest di impianto. L'impianto avrà un'estensione di circa 29,99 ha.

Le caratteristiche dell'area di impianto sono riportate nelle tabelle seguenti:

<b>Latitudine</b>	<b>Longitudine</b>	<b>Comune</b>
40°23'59.39" N	17°45'24.34" 'E	Area 1 Ovest - Erchie (BR)
40°23'48.25" N	17°46'40.40" E	Area 2 Est - San Pancrazio Sal.no (BR)

**Tabella A – Ubicazione geografica delle opere**

<i>Estensione (ha)</i>	<i>Potenza (MW)</i>	<i>Rapporto ha / MW</i>	<i>Ubicazione NCT</i>
29,99	26,86432	1,11	Foglio 37-39 (Erchie) Foglio 44 (San Pancrazio Sal. no)

*Tabella B – Estensione e Potenza installata*

## **2 Compatibilità Elettromagnetica**

### **2.1 Riferimenti normativi**

- D.M. del 29 maggio 2008;
- Linee Guida per l'applicazione del § 5.1.3 dell'Allegato A al DM 29.05.08;
- Norma CEI 106-11 (*Guida per la determinazione delle fasce di rispetto per gli elettrodotti secondo le disposizioni del D.P.C.M. 8 luglio 2003 (art.6)*);
- D.P.C.M. del 8 luglio 2003 "*Fissazione dei limiti di esposizione, dei valori di attenzione e degli obiettivi di qualità per la protezione della popolazione dalle esposizioni ai campi elettrici e magnetici alla frequenza di rete (50 Hz) generati dagli elettrodotti*";
- Legge n.36 del 22 febbraio 2001;
- Decreto Interministeriale del 21 marzo 1988 n.449.

### **2.2 Valutazione dell'esposizione umana. Valori limite**

Il D.P.C.M. 8 luglio 2003 fissa i limiti di esposizione e valori di attenzione, per la protezione della popolazione dalle esposizioni a campi elettrici e magnetici alla frequenza di rete (50 Hz) connessi al funzionamento ed all'esercizio degli elettrodotti, in particolare:

- All'art.3 comma 1: nel caso di esposizione a campi elettrici e magnetici alla frequenza di 50 Hz generati da elettrodotti, non deve essere superato il **limite di esposizione di 100  $\mu$ T** per l'induzione magnetica e 5 kV/m per il campo elettrico, intesi come valori efficaci;
- All'art.3 comma 2: a titolo di misura di cautela per la protezione da possibili effetti a lungo termine, eventualmente connessi con l'esposizione ai campi magnetici generati alla frequenza di rete (50 Hz), nelle aree gioco per l'infanzia, in ambienti abitativi, in ambienti scolastici e nei luoghi adibiti a permanenze non inferiori a quattro ore giornaliere, si assume per l'induzione magnetica il **valore di attenzione di 10  $\mu$ T**, da intendersi come mediana dei valori nell'arco delle 24 ore nelle normali condizioni di esercizio;

- Art.4 comma 1. Nella progettazione di nuovi elettrodotti in corrispondenza di aree gioco per l'infanzia, di ambienti abitativi, di ambienti scolastici e di luoghi adibiti a permanenze non inferiori a quattro ore e nella progettazione dei nuovi insediamenti e delle nuove aree di cui sopra in prossimità di linee ed installazioni elettriche già presenti nel territorio, ai fini della progressiva minimizzazione dell'esposizione ai campi elettrici e magnetici generati dagli elettrodotti operanti alla frequenza di 50 Hz, é fissato **l'obiettivo di qualità di 3  $\mu$ T per il valore dell'induzione magnetica**, da intendersi come mediana dei valori nell'arco delle 24 ore nelle normali condizioni di esercizio
- Lo stesso DPCM, all'art 6, fissa i parametri per la determinazione delle fasce di rispetto degli elettrodotti, per le quali si dovrà fare riferimento all'obiettivo di qualità (**B=3 $\mu$ T**) di cui all'art. 4 sopra richiamato ed alla portata della corrente in servizio normale. L'allegato al Decreto 29 maggio 2008 (Metodologie di calcolo per la determinazione delle fasce di rispetto degli elettrodotti) definisce quale *fascia di rispetto* lo spazio circostante l'elettrodotto, che comprende tutti i punti al di sopra e al di sotto del livello del suolo, caratterizzati da un'induzione magnetica di intensità maggiore o uguale all'obiettivo di qualità.
- Ai fini del calcolo della fascia di rispetto si omettono verifiche del campo elettrico, in quanto nella pratica questo determinerebbe una fascia (basata sul limite di esposizione, nonché valore di attenzione pari a 5kV/m) che è sempre inferiore a quella fornita dal calcolo dell'induzione magnetica.
- ***Pertanto, obiettivo dei paragrafi successivi sarà quello di calcolare le fasce di rispetto dagli elettrodotti del progetto in esame, facendo riferimento al limite di qualità di 3  $\mu$ T.***

### 2.3 Campo magnetico

I campi elettromagnetici sono un insieme di grandezze fisiche misurabili, introdotte per caratterizzare un insieme di fenomeni osservabili indotti senza contatto diretto tra sorgente ed oggetto del fenomeno, vale a dire fenomeni in cui è presente un'azione a distanza attraverso lo spazio.

Esso è composto in generale da tre campi vettoriali, il *campo elettrico*, il *campo magnetico* e un terzo campo che spesso per semplicità viene escluso che è il "*termine di sorgente*". Questo significa che i vettori che caratterizzano il campo elettromagnetico hanno ciascuno un valore definito in ciascun punto del tempo e dello spazio.

I vettori che modellizzano le grandezze introdotte nella definizione del modello fisico dei campi elettromagnetici sono quindi:

**E:** Campo elettrico

**B:** Campo di induzione magnetica

parallelamente:

**D:** spostamento elettrico o induzione dielettrica

**H:** Campo magnetico

L'esposizione umana ai campi elettromagnetici è una problematica relativamente recente che assume notevole interesse con l'introduzione massiccia dei sistemi di telecomunicazione e dei sistemi di trasmissione e distribuzione dell'energia elettrica. In realtà anche in assenza di tali sistemi siamo costantemente immersi nei campi elettromagnetici per tutti quei fenomeni naturali riconducibili alla natura elettromagnetica, primo su tutti l'irraggiamento solare.

Per quanto concerne i fenomeni elettrici si fa riferimento al campo elettrico, il quale può essere definito come una perturbazione di una certa regione spaziale determinata dalla presenza nell'intorno di una distribuzione di carica elettrica.

Per i fenomeni di natura magnetica si fa riferimento ad una caratterizzazione dell'esposizione ai campi magnetici, non in termini del vettore campo magnetico, ma in termini di induzione magnetica, che tiene conto dell'interazione con ambiente ed i mezzi materiali in cui il campo si propaga. Dal punto di vista macroscopico ogni fenomeno elettromagnetico è descritto dall'insieme di equazioni note come equazioni di Maxwell.

La normativa attualmente in vigore disciplina in modo differente i valori ammissibili di campo elettromagnetico, distinguendo così i "campi elettromagnetici quasi statici" ed i "campi elettromagnetici a radio frequenza".

Nel caso dei campi quasi statici, ha senso ragionare separatamente sui fenomeni elettrici e magnetici e ha quindi anche senso imporre separatamente dei limiti normativi alle intensità del campo elettrico e dell'induzione magnetica.

Il modello quasi statico è applicato per il caso concreto della distribuzione di energia, in relazione alla frequenza di distribuzione dell'energia della rete che è pari a 50 Hz. In generale gli elettrodotti dedicati alla trasmissione e distribuzione di energia elettrica sono percorsi da correnti elettriche di intensità diversa, ma tutte alla frequenza di 50 Hz, e quindi tutti i fenomeni elettromagnetici che li vedono come sorgenti possono essere studiati correttamente con il modello per campi quasi statici. Gli impianti per la produzione e la distribuzione dell'energia elettrica alla frequenza di 50 Hz, costituiscono una sorgente di campi elettromagnetici nell'intervallo 30-300 Hz.

DENOMINAZIONE		SIGLA	FREQUENZA	LUNGHEZZA D'ONDA
FREQUENZE ESTREMAMENTE BASSE		ELF	0 - 3kHz	> 100Km
FREQUENZE BASSISSIME		VLF	3 - 30kHz	100 - 10Km
RADIOFREQUENZE	FREQUENZE BASSE (ONDE LUNGHE)	LF	30 - 300kHz	10 - 1Km
	MEDIE FREQUENZE (ONDE MEDIE)	MF	300kHz - 3MHz	1Km - 100m
	ALTE FREQUENZE	HF	3 - 30MHz	100 - 10m
	FREQUENZE ALTISSIME (ONDE METRICHE)	VHF	30 - 300MHz	10 - 1m
MICROONDE	ONDE DECIMETRICHE	UHF	300MHz - 3GHz	1m - 10cm
	ONDE CENTIMETRICHE	SHF	3 - 30GHz	10 - 1cm
	ONDE MILLIMETRICHE	EHF	30 - 300GHz	1cm - 1mm
INFRAROSSO		IR	0,3 - 385THz	1000 - 0,78mm
LUCE VISIBILE			385 - 750THz	780 - 400nm
ULTRAVIOLETTO		UV	750 - 3000THz	400 - 100nm
RADIAZIONI IONIZZANTI		X	> 3000THz	< 100nm

### **Spettro elettromagnetico**

## **2.4 Campo elettrico**

Il campo elettrico è legato in maniera direttamente proporzionale alla tensione della sorgente; esso si attenua, allontanandosi da un elettrodotto, come l'inverso della distanza dai conduttori. I valori efficaci delle tensioni di linea variano debolmente con le correnti che le attraversano; l'intensità del campo elettrico può considerarsi, in prima approssimazione, costante.

La presenza di alberi, oggetti conduttori o edifici in prossimità delle linee riduce l'intensità del campo elettrico, e in particolare all'interno degli edifici, si possono misurare intensità di campo fino a 10 (anche 100) volte inferiori a quelle rilevabili all'esterno.

Per le linee elettriche aeree, l'intensità maggiore del campo elettrico si misura generalmente al centro della campata, ossia nel punto in cui i cavi si trovano alla minore distanza dal suolo. L'andamento e il valore massimo delle intensità dei campi dipenderà anche dalla disposizione e dalle distanze tra i conduttori della linea.

## **3 Fonti di emissione**

Le apparecchiature elettriche previste nella realizzazione dell'impianto fotovoltaico in oggetto generano normalmente, durante il loro funzionamento, campi elettromagnetici con radiazioni non ionizzanti.

In particolare, sono da considerarsi come sorgenti di campo elettromagnetico le seguenti componenti del parco fotovoltaico:

- Elettrodotti:
  - linee elettriche BT di interconnessione fra i quadri di parallelo e gli shelter;

- linee elettriche MT di interconnessione fra le Cabine di Trasformazione dei sottocampi e la Cabina di Smistamento;
- linea elettrica interrata MT fra la Cabina di Smistamento e la Sottostazione Elettrica Utente 30/150 kV;
- Sottostazione Elettrica Utente 30/150 kV:
  - Trasformatore MT/AT;
  - Sbarre AT;
  - Cavo interrato AT.

Di seguito verrà data una caratterizzazione delle sorgenti appena individuate.

### **3.1 Campo elettromagnetico generato dagli elettrodotti**

Quella che viene presentata in questi paragrafi è una valutazione analitica del campo magnetico generato dagli elettrodotti, basata sulle metodologie di calcolo suggerite dall'APAT (Agenzia per la protezione dell'ambiente e per i servizi tecnici), approvate dal D.M. 29/05/2008, e specificate dalla norma CEI 106-11.

Per la valutazione del campo magnetico generato dall'elettrodotto occorre innanzitutto distinguere gli elettrodotti in funzione della tipologia dei cavi utilizzati.

In linea generale l'utilizzo di cavi MT in configurazione ad "elica visibile" con sezione sino a 240 mm<sup>2</sup>, fanno sì che il campo magnetico prodotto sia notevolmente inferiore a quello prodotto da cavi analoghi posati in piano o a trifoglio. Le particolarità costruttive di questi cavi, ossia la ridotta distanza tra le fasi e la loro continua trasposizione dovuta alla cordatura, fa sì che il campo elettromagnetico generato dai cavi di sezione 50 – 185 mm<sup>2</sup> risulta essere infatti di gran lunga inferiore ai valori limite richiesti e, pertanto, già dopo una prima analisi qualitativa, se ne può escludere la valutazione numerica, così come previsto dalla normativa e dalle leggi vigenti.

Nello specifico del nostro caso, sono stati considerati cavi posati a trifoglio "worst-case". Tale scelta è stata dettata dal fatto che al momento non è nota la disponibilità sul mercato e quindi quelle che potranno essere le scelte in fase di progettazione esecutiva.

Nella tabella che segue si schematizza la configurazione dei cavidotti MT all'interno del campo, specificandone la tipologia, la lunghezza, la corrente in esso circolante, la sezione e la portata nominale del cavo stesso nonché il tratto di appartenenza.

Per la valutazione del campo magnetico generato da tali elettrodotti occorre innanzitutto individuare le possibili diverse configurazioni che si presentano nel caso in esame, e sulla base di questi individuare i diversi casi sui quali effettuare la valutazione del campo.

Nel nostro caso, consideriamo i tratti di elettrodotti che accolgono le sezioni di cavo maggiore e in cui fluisce il valore di corrente maggiore.

Cavidotto che unisce la Cabina di Smistamento alla SSE

La linea MT esterna avrà una sezione pari a 500 mm<sup>2</sup> della tipologia ARP1H5(AR)E.

Linea Cds-SSE									
Tratti	Potenza (Kwp)	Tensione(V)	Corrente (A)	Sezione (mmq)	Portata	Lunghezza (m)	5%	Ingr.Cab. (m)	Stima finale (m)
Cds-SSE	22.512	30,00	457	500	509	2.730	2.866,5	10,00	2.876,6

### **3.1.1 Calcolo del campo di induzione elettromagnetica generato dagli elettrodotti**

#### **Elettrodotti MT interni**

Di seguito verrà calcolato il campo di induzione magnetica generato nei casi schematizzati nel paragrafo precedente.

In linea generale, nel caso di cavidotti in cui sono posate più terne di cavi, è possibile fare ricorso ad un modello matematico che tenga conto del campo magnetico generato da ogni singola terna.

Il modello costituito, secondo quanto previsto e suggerito dalla norma CEI 211-4 cap. 4.3, tiene conto delle componenti spaziali dell'induzione magnetica, calcolate come somma del contributo delle correnti nei diversi conduttori.

$$B_x = \frac{\mu_0}{2\pi} \sum_i I_i \left[ \frac{y_i - y}{(x - x_i)^2 + (y - y_i)^2} \right] \quad B_y = \frac{\mu_0}{2\pi} \sum_i I_i \left[ \frac{x_i - x}{(x - x_i)^2 + (y - y_i)^2} \right]$$

È possibile a questo punto effettuare una semplificazione del modello, che consideri il contributo non del singolo conduttore ma dell'intera terna, della quale sono note le caratteristiche geometriche. Si terrà conto nel seguito per il modello del sistema di cavi unipolari posati a trifoglio e non elicordati: in questo modo viene introdotto un grado di protezione maggiore nel sistema, essendo il campo magnetico generato dal un cavo elicordato meno intenso di quello di una terna posata a trifoglio.

Per i cavi unipolari posati a trifoglio è possibile ricorrere ad una espressione approssimata del campo magnetico, come di seguito riportato.

$$B = 0,1 * \sqrt{6} \frac{S * I}{R^2}$$

dove:

**B** [ $\mu$ T] è l'induzione magnetica in un generico punto distante;

**R** [m] dal conduttore centrale;

**S** [m] è la distanza fra i conduttori adiacenti, percorsi da correnti simmetriche ed equilibrate di ampiezza pari a I [A].

Considerata la natura vettoriale del campo magnetico, è possibile sommare i contributi dovuti alle singole terne e calcolare, attraverso il modello semplificato di cui prima, il valore del campo magnetico nello spazio circostante l'elettrodotto.

Possiamo quindi riscrivere la formula nella maniera seguente:

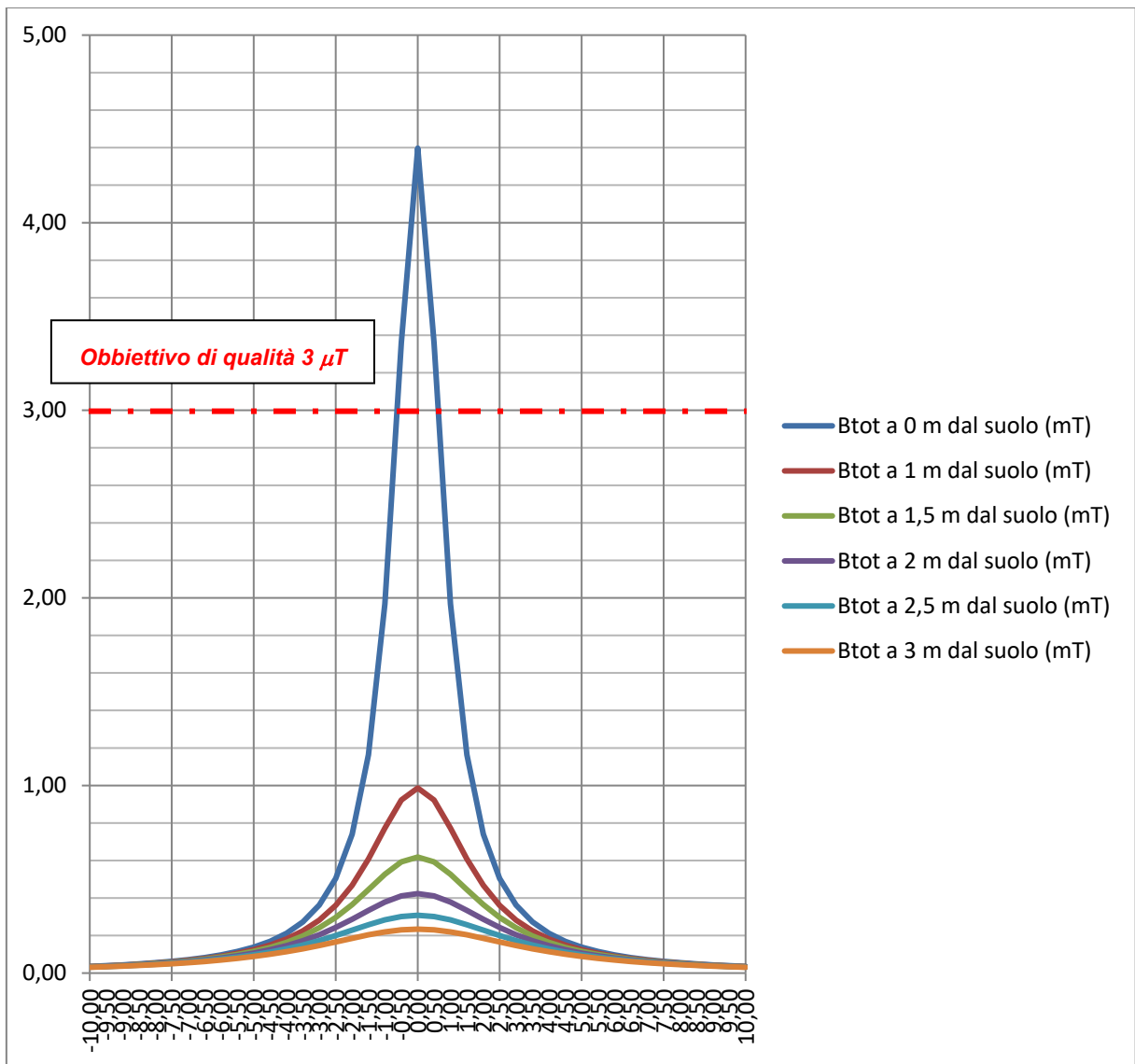
$$Bi = 0,1 * \sqrt{6} \frac{Si * Ii}{(x - xi)^2 + (y - d)^2}$$

Per cui applicando la formula di cui sopra si ottengono i risultati riportati nella tabella seguente.

Il calcolo è stato effettuato per diverse altezze dal livello del suolo e con intervallo di campionamento dei valori in ascissa (ossia della distanza dall'asse centrale) pari a 0,5 m. Inoltre, si è tenuto conto della profondità di posa dei cavi all'arrivo in cabina prima dell'attestazione nei quadri MT. Si è considerata quindi una profondità pari a 0,90 m.

Distanza dall'asse centrale (m)	B <sub>tot</sub> a 0 m dal suolo (μT)	B <sub>tot</sub> a 1 m dal suolo (μT)	B <sub>tot</sub> a 1,5 m dal suolo (μT)	B <sub>tot</sub> a 2 m dal suolo (μT)	B <sub>tot</sub> a 2,5 m dal suolo (μT)	B <sub>tot</sub> a 3 m dal suolo (μT)
-10,00	0,04	0,03	0,03	0,03	0,03	0,03
-9,50	0,04	0,04	0,04	0,04	0,03	0,03
-9,00	0,04	0,04	0,04	0,04	0,04	0,04
-8,50	0,05	0,05	0,05	0,04	0,04	0,04
-8,00	0,05	0,05	0,05	0,05	0,05	0,04
-7,50	0,06	0,06	0,06	0,06	0,05	0,05
-7,00	0,07	0,07	0,07	0,06	0,06	0,06
-6,50	0,08	0,08	0,07	0,07	0,07	0,06
-6,00	0,10	0,09	0,09	0,08	0,07	0,07
-5,50	0,11	0,11	0,10	0,09	0,09	0,08
-5,00	0,14	0,12	0,12	0,11	0,10	0,09
-4,50	0,17	0,15	0,14	0,12	0,11	0,10
-4,00	0,21	0,18	0,16	0,15	0,13	0,11
-3,50	0,27	0,22	0,20	0,17	0,15	0,13
-3,00	0,36	0,28	0,24	0,20	0,17	0,15
-2,50	0,50	0,36	0,30	0,24	0,20	0,17
-2,00	0,74	0,47	0,36	0,29	0,23	0,19
-1,50	1,16	0,61	0,44	0,33	0,26	0,20
-1,00	1,97	0,77	0,53	0,38	0,28	0,22
-0,50	3,36	0,92	0,59	0,41	0,30	0,23
<b>0,00</b>	<b>4,40</b>	<b>0,99</b>	<b>0,62</b>	<b>0,42</b>	<b>0,31</b>	<b>0,23</b>
0,50	3,36	0,92	0,59	0,41	0,30	0,23
1,00	1,97	0,77	0,53	0,38	0,28	0,22
1,50	1,16	0,61	0,44	0,33	0,26	0,20
2,00	0,74	0,47	0,36	0,29	0,23	0,19
2,50	0,50	0,36	0,30	0,24	0,20	0,17
3,00	0,36	0,28	0,24	0,20	0,17	0,15
3,50	0,27	0,22	0,20	0,17	0,15	0,13
4,00	0,21	0,18	0,16	0,15	0,13	0,11
4,50	0,17	0,15	0,14	0,12	0,11	0,10
5,00	0,14	0,12	0,12	0,11	0,10	0,09
5,50	0,11	0,11	0,10	0,09	0,09	0,08
6,00	0,10	0,09	0,09	0,08	0,07	0,07
6,50	0,08	0,08	0,07	0,07	0,07	0,06
7,00	0,07	0,07	0,07	0,06	0,06	0,06
7,50	0,06	0,06	0,06	0,06	0,05	0,05
8,00	0,05	0,05	0,05	0,05	0,05	0,04
8,50	0,05	0,05	0,05	0,04	0,04	0,04
9,00	0,04	0,04	0,04	0,04	0,04	0,04
9,50	0,04	0,04	0,04	0,04	0,03	0,03
10,00	0,04	0,03	0,03	0,03	0,03	0,03

Tab. A Valori del campo di induzione magnetica per diverse distanze dall'asse dei caviodotti e altezze dal suolo



**Grafico del campo di induzione magnetica per diverse distanze dall'asse dei cavidotti e altezze dal suolo**

Il grafico mostra come nel caso in esame, il valore del Campo di Induzione Elettromagnetica risulta superiore all'obiettivo di qualità, pari a  $3 \mu T$ , risultando ad una quota dal suolo pari ad 0 m e sull'asse dei conduttori, pari a  **$4,40 \mu T$**  (v. Tab. A). Tuttavia si può anche vedere che sull'asse dei conduttori già ad 1 metro dal suolo il valore dell'induzione elettromagnetica scende a  **$0,99 \mu T < 3 \mu T$** . Se consideriamo poi che ad 1 metro di distanza dai conduttori (anche a quota 0 m dal suolo), il valore di B è pari a  **$1,97 \mu T < 3 \mu T$** , possiamo affermare che l'impatto elettromagnetico è limitato.

Si prevedono comunque, nelle fasi di esercizio e manutenzione dell'impianto, tempi di permanenza di personale addetto all'interno delle Cabine, inferiori alle 4 ore. Per tempi che

dovessero prospettarsi superiori, si prevede comunque la disalimentazione di parte o di tutto l'impianto, a seconda della zona sulla quale si andrà ad operare.

In **fase di esercizio**, pertanto, il funzionamento dei cavidotti elettrici produrrà campi elettromagnetici di entità modesta ed inferiore ai livelli di qualità previsti dal DPCM 8 luglio 2003. Inoltre i cavidotti saranno installati in gran parte al di sotto di strade secondarie in aree agricole dove non vi è presenza di abitazioni, e dove non è prevista la permanenze continuativa di persone.

### **Elettrodotto MT esterno**

L'elettrodotto esterno che collegherà la Cabina di Smistamento (CdS) alla Sottostazione Elettrica Utente (SSE), avrà una lunghezza pari a circa 2.730 m. Si svilupperà nel territorio sei comuni di Erchie (BR) e San Pancrazio Salentino (BR) e sarà costituito da un'unica terna di cavi MT in alluminio del tipo ARP1H5(AR)E.

La metodologia per il calcolo del valore del campo di induzione elettromagnetica generato dal detto elettrodotto, è la medesima utilizzata per gli elettrodotti interni all'impianto che afferiscono alla Cabina di Smistamento.

In particolare il cavidotto esterno avrà le seguenti caratteristiche principali:

Linea Cds-SSE									
Tratti	Potenza (Kwp)	Tensione(V)	Corrente (A)	Sezione (mmq)	Portata	Lunghezza (m)	5%	Ingr.Cab. (m)	Stima finale (m)
Cds-SSE	22.512	30,00	457	500	509	2.730	2.866,5	10,00	2.876,6

Come nel caso precedente utilizziamo per il calcolo del campo B la formula:

$$B = 0,1 * \sqrt{6} \frac{S * I}{R^2}$$

dove:

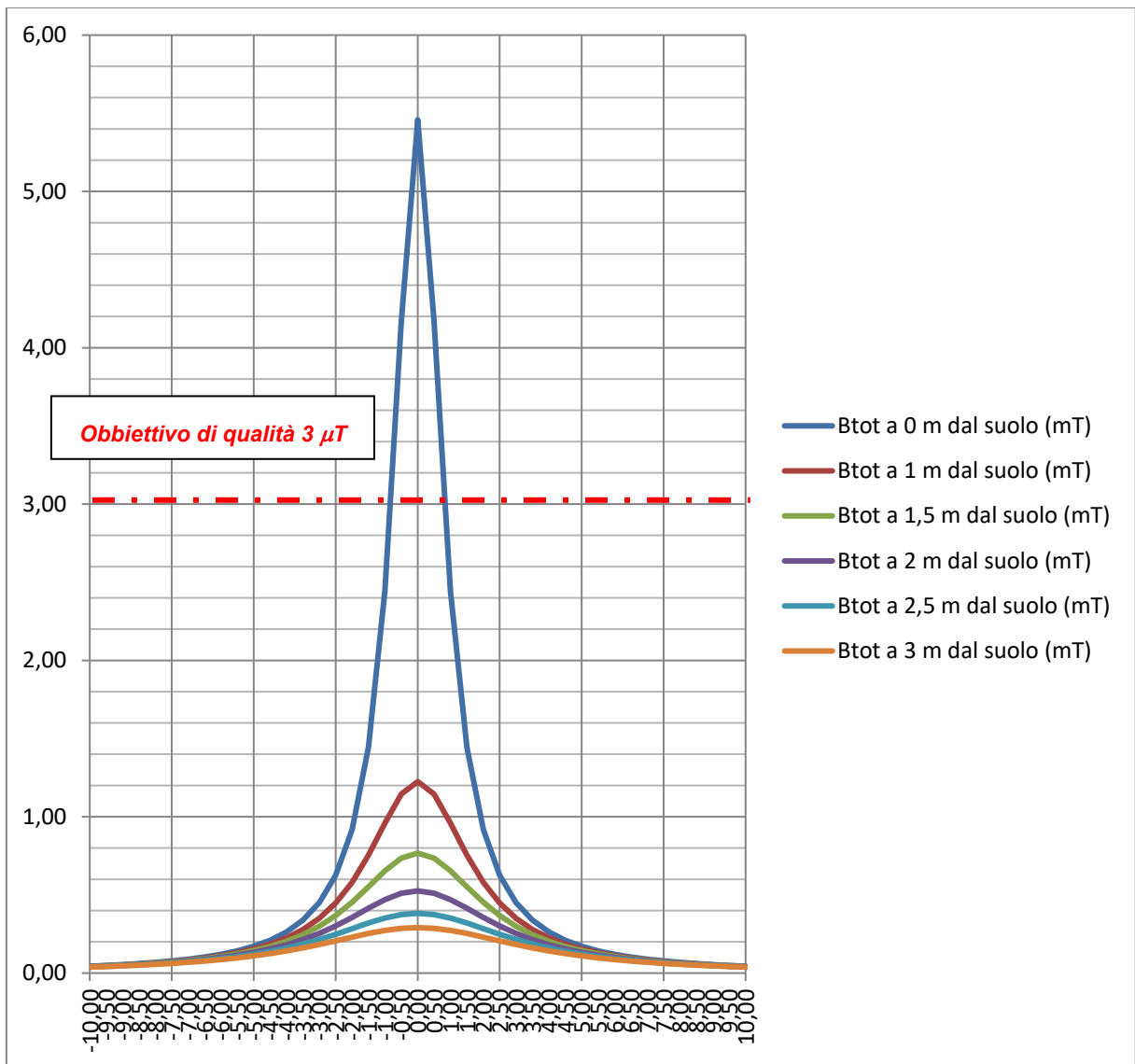
**B** [μT] è l'induzione magnetica in un generico punto distante;

**R** [m] dal conduttore centrale;

**S** [m] è la distanza fra i conduttori adiacenti, percorsi da correnti simmetriche ed equilibrate di ampiezza pari a I [A].

Distanza dall'asse centrale (m)	B <sub>tot</sub> a 0 m dal suolo (μT)	B <sub>tot</sub> a 1 m dal suolo (μT)	B <sub>tot</sub> a 1,5 m dal suolo (μT)	B <sub>tot</sub> a 2 m dal suolo (μT)	B <sub>tot</sub> a 2,5 m dal suolo (μT)	B <sub>tot</sub> a 3 m dal suolo (μT)
-10,00	0,04	0,04	0,04	0,04	0,04	0,04
-9,50	0,05	0,05	0,05	0,04	0,04	0,04
-9,00	0,05	0,05	0,05	0,05	0,05	0,05
-8,50	0,06	0,06	0,06	0,05	0,05	0,05
-8,00	0,07	0,07	0,06	0,06	0,06	0,06
-7,50	0,08	0,07	0,07	0,07	0,07	0,06
-7,00	0,09	0,08	0,08	0,08	0,07	0,07
-6,50	0,10	0,10	0,09	0,09	0,08	0,08
-6,00	0,12	0,11	0,11	0,10	0,09	0,09
-5,50	0,14	0,13	0,12	0,11	0,11	0,10
-5,00	0,17	0,15	0,14	0,13	0,12	0,11
-4,50	0,21	0,19	0,17	0,15	0,14	0,12
-4,00	0,26	0,23	0,20	0,18	0,16	0,14
-3,50	0,34	0,28	0,25	0,21	0,19	0,16
-3,00	0,45	0,35	0,30	0,25	0,22	0,18
-2,50	0,63	0,45	0,37	0,30	0,25	0,21
-2,00	0,92	0,58	0,45	0,36	0,28	0,23
-1,50	1,44	0,75	0,55	0,41	0,32	0,25
-1,00	2,44	0,96	0,65	0,47	0,35	0,27
-0,50	4,17	1,15	0,74	0,51	0,37	0,29
<b>0,00</b>	<b>5,46</b>	<b>1,22</b>	<b>0,77</b>	<b>0,53</b>	<b>0,38</b>	<b>0,29</b>
0,50	4,17	1,15	0,74	0,51	0,37	0,29
1,00	2,44	0,96	0,65	0,47	0,35	0,27
1,50	1,44	0,75	0,55	0,41	0,32	0,25
2,00	0,92	0,58	0,45	0,36	0,28	0,23
2,50	0,63	0,45	0,37	0,30	0,25	0,21
3,00	0,45	0,35	0,30	0,25	0,22	0,18
3,50	0,34	0,28	0,25	0,21	0,19	0,16
4,00	0,26	0,23	0,20	0,18	0,16	0,14
4,50	0,21	0,19	0,17	0,15	0,14	0,12
5,00	0,17	0,15	0,14	0,13	0,12	0,11
5,50	0,14	0,13	0,12	0,11	0,11	0,10
6,00	0,12	0,11	0,11	0,10	0,09	0,09
6,50	0,10	0,10	0,09	0,09	0,08	0,08
7,00	0,09	0,08	0,08	0,08	0,07	0,07
7,50	0,08	0,07	0,07	0,07	0,07	0,06
8,00	0,07	0,07	0,06	0,06	0,06	0,06
8,50	0,06	0,06	0,06	0,05	0,05	0,05
9,00	0,05	0,05	0,05	0,05	0,05	0,05
9,50	0,05	0,05	0,05	0,04	0,04	0,04
10,00	0,04	0,04	0,04	0,04	0,04	0,04

Tab. B Valori del campo di induzione magnetica per diverse distanze dall'asse dei cavidotti e altezze dal suolo



Il grafico mostra come nel caso in esame, il valore del Campo di Induzione Elettromagnetica risulti superiore all'obiettivo di qualità, pari a  $3 \mu T$ , risultando ad una quota dal suolo pari ad 0 m e sull'asse dei conduttori, pari a  **$5,46 \mu T$**  (v. Tab. B). Tuttavia si può anche vedere che sull'asse dei conduttori già ad 1 metro dal suolo il valore dell'induzione elettromagnetica scende a  **$1,22 \mu T < 3 \mu T$** . Se consideriamo poi che ad 1 metro di distanza dai conduttori (anche a quota 0 m dal suolo), il valore di B è pari a  **$2,44 \mu T < 3 \mu T$** , possiamo affermare che l'impatto elettromagnetico è limitato ad una ristretta fascia. Inoltre per la quasi totalità del suo percorso l'elettrodotto esterno "correrà" su strada pubblica ad una profondità minima di 1,2 m dal piano viabile. I tratti non su strada si svolgeranno su terreni a destinazione agricola sempre ad una profondità minima di 1,2 m dal piano campagna.

In caso di manutenzione della linea, si prevedono nelle fasi di esercizio dell'Impianto, tempi di permanenza di personale addetto inferiori alle 4 ore. Per tempi che dovessero prospettarsi superiori, si prevede comunque la disalimentazione di parte o di tutto l'impianto, a seconda della zona sulla quale si andrà ad operare.

In **fase di esercizio**, pertanto, il funzionamento dei cavidotti elettrici produrrà campi elettromagnetici di entità modesta ed inferiore ai livelli di qualità previsti dal DPCM 8 luglio 2003. Inoltre i cavidotti saranno installati in gran parte al di sotto di strade secondarie in aree agricole dove non vi è presenza di abitazioni, e dove non è prevista la permanenza continuativa di persone.

### **3.2 Gruppo di trasformazione**

Nel caso delle Cabine di Campo e Trasformazione, determiniamo direttamente il valore della **DPA**.

La **DPA**, Distanza di **P**rima **A**pprossimazione, per le cabine è la distanza, in pianta sul livello del suolo, da tutte le pareti della cabina stessa, che garantisce che ogni punto, la cui proiezione al suolo disti dalla proiezione del perimetro di cabina più di DPA, si trovi all'esterno delle fasce di rispetto.

Per fascia di rispetto s'intende, in questo caso, lo spazio circostante la cabina che comprende tutti i punti, al di sopra e al di sotto del livello del suolo, caratterizzati da un'induzione magnetica d'intensità maggiore o uguale all'obiettivo di qualità (**3 μT**). Il calcolo della DPA deve essere effettuato anche per gli shelter, all'interno dei quali avviene la trasformazione da BT in MT a mezzo di un Trasformatore BT/MT. Si prende a tale scopo in considerazione, il trasformatore di taglia maggiore previsto all'interno dell'impianto e che risulta avere una potenza pari a 3.200 kVA.

Ai sensi del *DM del MATTM del 29.05.2008, cap.5.2.1*, la **DPA** si determina applicando la formula di seguito riportata.

La struttura semplificata sulla base della quale si calcola la **DPA** è un sistema trifase, percorso da una corrente pari alla corrente nominale di bassa in uscita dal trasformatore, e con distanza tra le fasi pari al diametro dei cavi reali in uscita dal trasformatore stesso. Quindi i dati necessari per il calcolo delle **DPA** sono:

- corrente nominale di bassa tensione del trasformatore;
- diametro dei cavi reali in uscita dal trasformatore.

$$\frac{DPA}{\sqrt{I}} = 0.40942 * x^{0.5241}$$

Dove:

$I$  è la corrente nominale di bassa del trasformatore in (A);

$x$  il diametro dei cavi in (m).

Nel caso in esame i dati di ingresso saranno assegnati considerando il "worst-case" del nostro progetto:

$I = 1.050 \text{ A}$  (si considera, in sicurezza, il valore massimo in uscita dall'inverter).

$x =$  diametro esterno massimo del cavo pari a **33 mm** trattandosi un *FG16R16 3 x (1 x 300 mm<sup>2</sup>)*.

Dal calcolo si ottiene:

**DPA** pari a 2,22 m

che arrotonda per eccesso all'intero superiore fissa il valore della **Distanza di Prima Approssimazione** pari a **2,3 m**.

Quindi, la fascia di rispetto rientra nei confini dell'aerea di pertinenza dell'impianto stesso, essendo le cabine sempre ubicate oltre il margine interno delle strade perimetrali, cioè ad una distanza dalla recinzione sempre superiore ai 4,0 m. Inoltre cabina è posizionata all'aperto e normalmente non è permanentemente presidiata.

### **3.3 Sottostazione Elettrica Utente 30/150 kV**

L'energia proveniente dall'Impianto Fotovoltaico, raggiungerà la Sottostazione di Trasformazione, ubicata in prossimità della SE TERNA di "Erchie". Qui è previsto:

- un ulteriore innalzamento della tensione con una trasformazione 30/150 kV;
- la misura dell'energia prodotta;
- la consegna a TERNA S.p.a. su uno stallo della sezione 150 kV, condiviso con altro produttore.

La condivisione dello stallo della SE Terna sarà reso possibile dalla realizzazione di un sistema di sbarre AT 150 kV a cui saranno collegato altri due produttori (*Avetrana Energia S.r.l. e altro produttore*).

Il produttore *Avetrana Energia* avrà lo stallo AT nell'ambito della stessa area di *Tre Torri Energia*, mentre un altro produttore avrà a disposizione un'area dedicata, non facente parte del seguente progetto e iter autorizzativo. Ad ogni modo tutti e tre saranno collegati alle stesse sbarre AT.

Le due aree di pertinenza specifica dei produttori e l'area delle sbarre AT saranno fisicamente separate tra loro tramite una recinzione, realizzata con elementi prefabbricati del tipo "a pettine", ed avranno tre accessi indipendenti.

L'area dell'impianto di utente per la connessione del Produttore Tre Torri Energia (come detto condivisa con *Avetrana Energia*) si prevede che occupi complessivamente una superficie di 3.590 mq circa, e che possa ospitare pertanto i due stalli AT completi di trasformatore, apparecchiature AT di comando e protezione, un palo metallico di altezza fuori terra di 22 m per supporto delle apparecchiature telecomunicazioni, due locali tecnici ciascuno con locale MT, locale BT, un locale misure ed un locale GE. Uno dei due stalli sarà di pertinenza di *Avetrana Energia S.r.l.* e sarà utilizzato per la trasformazione dell'energia proveniente dal parco eolico e per la connessione in AT dello stesso alla RTN. L'altro stallone, lo ripetiamo sarà di competenza del produttore *Avetrana Energia S.r.l.* (impianto eolico).

Il trasformatore 30/150 kV avrà potenza nominale di 30 MVA raffreddamento in olio ONAN/ONAF, con vasca di raccolta sottostante, in caso di perdite accidentali.

Oltre al trasformatore MT/AT saranno installate apparecchiature AT per protezione, sezionamento e misura:

- scaricatori di tensione;
- sezionatore tripolare con lame di terra;
- trasformatori di tensione induttivi per misure e protezione;
- interruttore tripolare 150kV;
- trasformatori di corrente per misure e protezione;
- trasformatori di tensione induttivi per misure fiscali.

La recinzione sarà realizzata con elementi prefabbricati "a pettine", che saranno installati su apposito cordolo in calcestruzzo (interrato). La finitura del piazzale interno alla SSE sarà in asfalto. In corrispondenza delle apparecchiature AT sarà realizzata una finitura in ghiaietto.

Per quanto concerne la determinazione della fascia di rispetto, la SSE è del tutto assimilabile ad una Cabina Primaria, per la quale la fascia di rispetto rientra, nei confini dell'area di pertinenza dell'impianto (area recintata). Ciò in conformità a quanto riportato al paragrafo 5.2.2 dell'Allegato al Decreto 29 maggio 2008 che afferma che: per questa tipologia di impianti la DPA e, quindi, la fascia di rispetto, rientrano generalmente nei confini dell'area di pertinenza dell'impianto stesso.

L'impatto elettromagnetico nella SSE è essenzialmente prodotto:

- dall'utilizzo dei trasformatori BT/MT e MT/AT;

- dalla realizzazione delle linee/sbarre aeree di connessione tra il trafo e le apparecchiature elettromeccaniche
- dalla linea interrata AT (già trattata nel paragrafo precedente)

L'impatto generato dalle linee/sbarre AT è di gran lunga quello più significativo e pertanto si propone il calcolo della fascia di rispetto dalle linee/sbarre AT.

### 3.3.1 Determinazione della fascia di rispetto

Le sbarre AT sono assimilabili ad una linea aerea trifase 150 kV, con conduttori posti in piano ad una distanza reciproca di 2,2 m, ad un'altezza di circa 7,5 m dal suolo, percorsi da correnti simmetriche ed equilibrate.

Nel caso in esame si ha:

- **S** (distanza tra i conduttori)= 2,2 m;
- **P<sub>n</sub>** = Potenza massima dell'impianto in progetto (26,86432 MW);
- **V<sub>n</sub>** = Tensione nominale delle sbarre AT (150kV).

Indicando con:  $P_{max}$  = Potenza massima dell'impianto si avrà:  $P_{max} = 26,86432$  MW

$$I_{b\_max} = \frac{P_{max}}{\sqrt{3} V_n \cos \varphi} = \frac{26,864 * 10^6}{0,95 * \sqrt{3} * 150 * 10^3} = 110 \text{ A}$$

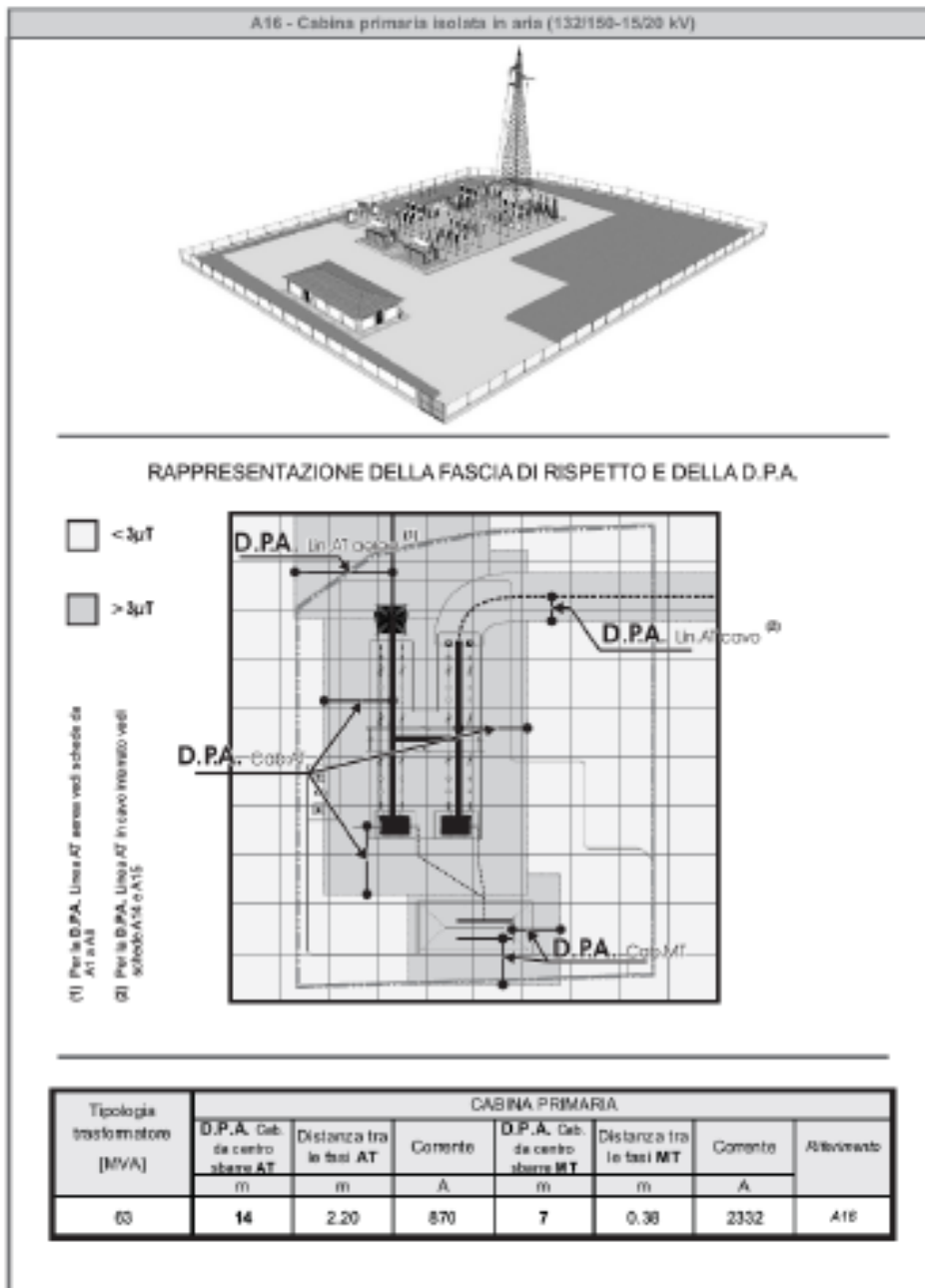
ed utilizzando la **formula di approssimazione** proposta al paragrafo 6.2.1 della norma CEI 106-11, si avrà:

$$R' = 0,34 \times \sqrt{2,2 \times 110} = 5,3 \text{ m}$$

La distanza **R' = 5,3 m** risulta inferiore all'altezza delle stesse sbarre (come detto pari a **7,5 m**).

Per le **DPA** ci si è rifatti comunque alle "*Linee Guida per l'applicazione del § 5.1.3. dell'Allegato al DM 29.05.2008 – Distanza di prima approssimazione (DPA) da linee e cabine elettriche*", di cui si riporta di seguito lo stralcio per quanto di interesse che pongono la distanza di prima approssimazione dal centro delle sbarre AT pari a **14 m**.

Tipologia sostegno	Formazione	Armamento	Corrente	DPA (m)	Rif.
<b>Tubolare Doppia Terna con mensole isolanti (serie 132/150 kV)</b>  <b>Scheda A13</b>	<b>22.8 mm</b> <b>307.75 mm<sup>2</sup></b>		576	22	A13a
			444	19	A13b
	<b>31.5 mm</b> <b>585.35 mm<sup>2</sup></b>		870	27	A13c
			675	23	A13d
<b>CAVI INTERRATI Semplice Terna cavi disposti in piano (serie 132/150 kV)</b>  <b>Scheda A14</b>	<b>108 mm</b> <b>1600 mm<sup>2</sup></b>		1110	5.10	A14
<b>CAVI INTERRATI Semplice Terna cavi disposti a trifoglio (serie 132/150 kV)</b>  <b>Scheda A15</b>	<b>108 mm</b> <b>1600 mm<sup>2</sup></b>		1110	3.10	A15
<b>CABINA PRIMARIA ISOLATA IN ARIA (132/150kV - 15/20kV) Trasformatori 63MVA</b>  <b>Scheda A16</b>	Distanza tra le fasi <b>AT = 2.20 m</b>		870	14	A16
	Distanza tra le fasi <b>MT = 0.37 m</b>		2332	7	

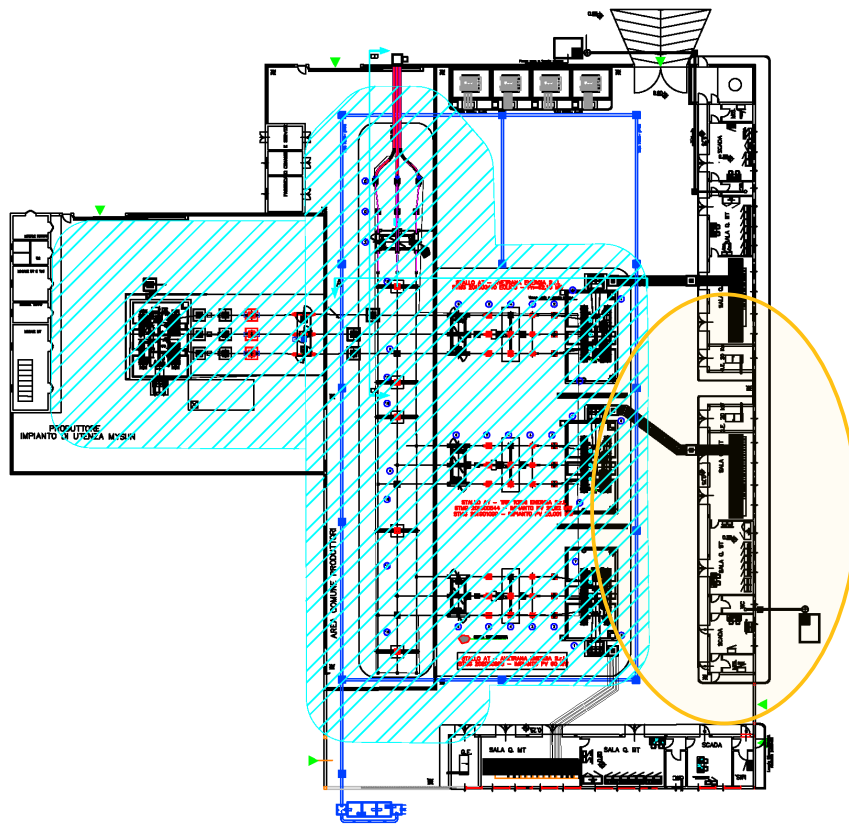


Inoltre:

- in conformità a quanto previsto dal Decreto 29 maggio 2008 la *Distanza di Prima Approssimazione (DPA)* e, quindi, la fascia di rispetto rientra nei confini dell'area di pertinenza della cabina di trasformazione in progetto;

- la sottostazione di trasformazione è comunque realizzata in un'area agricola, con totale assenza di edifici abitati per un raggio di almeno 400 m.
- all'interno dell'area della sottostazione non è prevista la permanenza di persone per periodi continuativi superiori a 4 ore con l'impianto in tensione.

Pertanto, si può quindi affermare che l'impatto elettromagnetico su persone, prodotto dalla realizzazione della SSE, sarà trascurabile.



**Applicazione delle D.P.A. secondo "Linee Guida per l'applicazione del § 5.1.3. dell'Allegato al DM 29.05.2008 – Distanza di prima approssimazione (DPA) da linee e cabine elettriche"**

### **3.4 Conclusioni e Distanze di prima approssimazione (DPA)**

Alla luce dei calcoli eseguiti, non si riscontrano problematiche particolari relative all'impatto elettromagnetico dei componenti del Parco Fotovoltaico in oggetto ed in particolare delle Cabine elettriche, i cavidotti e la Sottostazione Utente (SSE), in merito all'esposizione umana ai campi elettrici e magnetici. A conforto di ciò che è stato fin qui detto, a lavori ultimati si potranno eseguire prove sul campo che dimostrino l'esattezza dei calcoli e delle assunzioni fatte.

Lo studio condotto conferma la conformità dell'impianto dal punto di vista degli effetti del campo elettromagnetico sulla salute umana.

Per quanto concerne i cavi interrati infatti, considerati gli accorgimenti di progetto adottati relativi a:

- minimizzazione dei percorsi della rete;
- disposizione a fascio delle linee trifase

si può escludere la presenza di rischi di natura sanitaria per la popolazione, sia per i bassi valori del campo sia per assenza di possibili recettori nelle zone interessate.

Per quanto concerne il sistema di linee di connessione trafo AT/MT e apparecchiature elettromeccaniche all'interno della SSE, abbiamo visto che la DPA calcolata ricade all'interno della SSE stessa e quindi non genera rischi di esposizione prolungata ai campi elettromagnetici, dal momento che si tratta di *Officina Elettrica* a cui è consentito l'accesso di personale specializzato, peraltro in modo saltuario e non continuativo (per tempi non superiori alle 4 ore).

Le opere elettriche in progetto e relative DPA non interessano aree gioco per l'infanzia, ambienti abitativi, ambienti scolastici o luoghi adibiti a permanenze di persone superiori a quattro ore, rispondendo pienamente agli obiettivi di qualità dettati dall'art.4 del D.P.C.M 8 luglio 2003.

Inoltre, sono rispettate ampiamente le distanze da fabbricati adibiti ad abitazione o ad altra attività che comporti tempi di permanenza prolungati, previste dal D.P.C.M. 23 aprile 1992 "*Limiti massimi di esposizione al campo elettrico e magnetico generati alla frequenza industriale nominale di 50 Hz negli ambienti abitativi e nell'ambiente esterno*".

In definitiva, volendo riassumere, si sono assunte le seguenti Distanze di Prima Approssimazione:

### **3.4.1 Impianto Fotovoltaico**

<u>Cabine di Trasformazione:</u>	3 m in tutto il loro intorno;
<u>Cabina di Smistamento:</u>	3 m in tutto l'intorno;
<u>Cavidotti MT interni all'impianto fotovoltaico</u>	2 m in tutto l'intorno
<u>Cavidotto MT da CdS a SSE 30/150 kV</u>	2 m in tutto l'intorno

### **3.4.2 Cabina di Smistamento**

Come riportato nel paragrafo ad esse dedicato, per le cabine di trasformazione è stata considerata una fascia di rispetto pari a 3 m, oltre la quale il valore del Campo di induzione magnetica risulta inferiore a 3  $\mu$ T (valore di qualità).

Per la Cabina di Smistamento si considereranno i medesimi valori.

### **3.4.3 Cavidotti MT interni**

Pure essendo i valori del campo di induzione elettromagnetica ben al di sotto dei limiti di qualità, assumeremo come larghezza della fascia di rispetto 4,00 m, cioè 2,00 metri dall'asse da entrambi i lati.

### **3.4.4 Sottostazione Utente (SSE)**

Per la sottostazione Utente, sono state assunte come Distanze di Prima approssimazione, quelle indicate nelle *“Linee Guida per l'applicazione del § 5.1.3. dell'Allegato al DM 29.05.2008 – Distanza di prima approssimazione (DPA) da linee e cabine elettriche”*.